

simulation avec LMDz-NEMO-Med

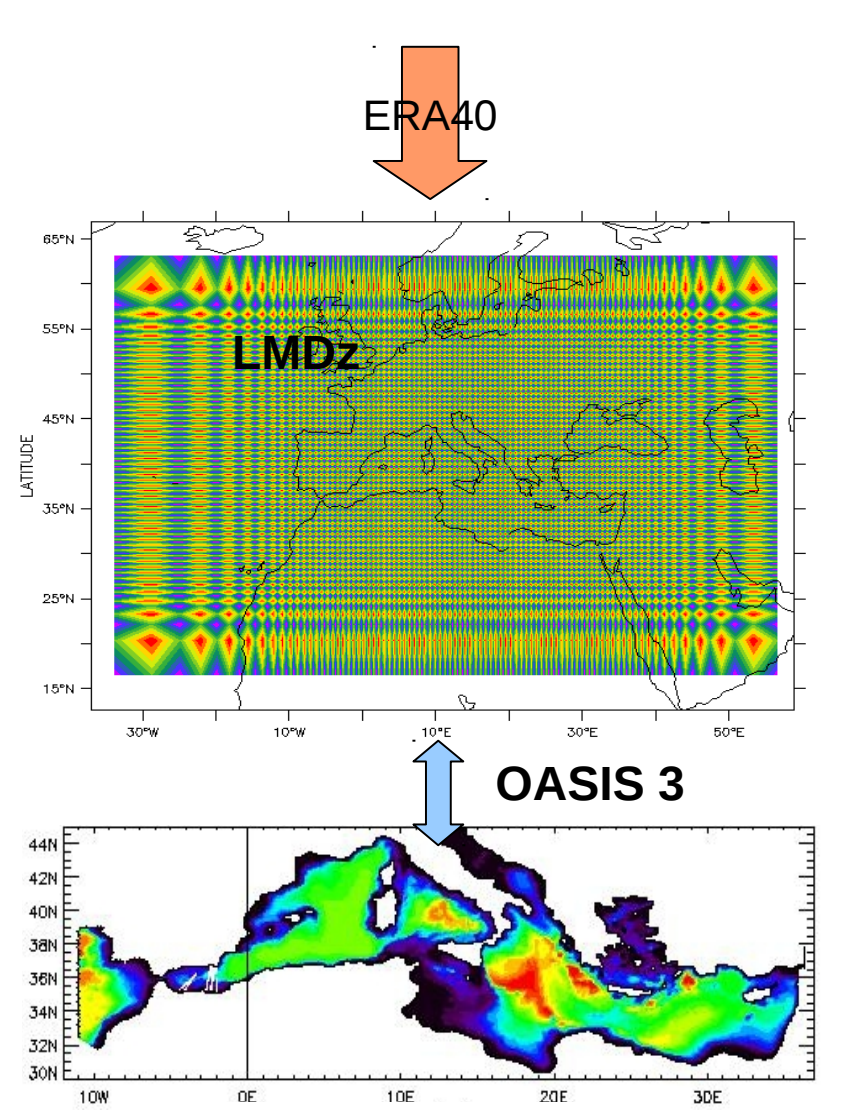
LMDz-NEMO-Med

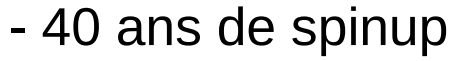
LMDz(~30km) / NEMOMed8(~12km)

Li et al. (2008)

Beuvier et al. (2010)







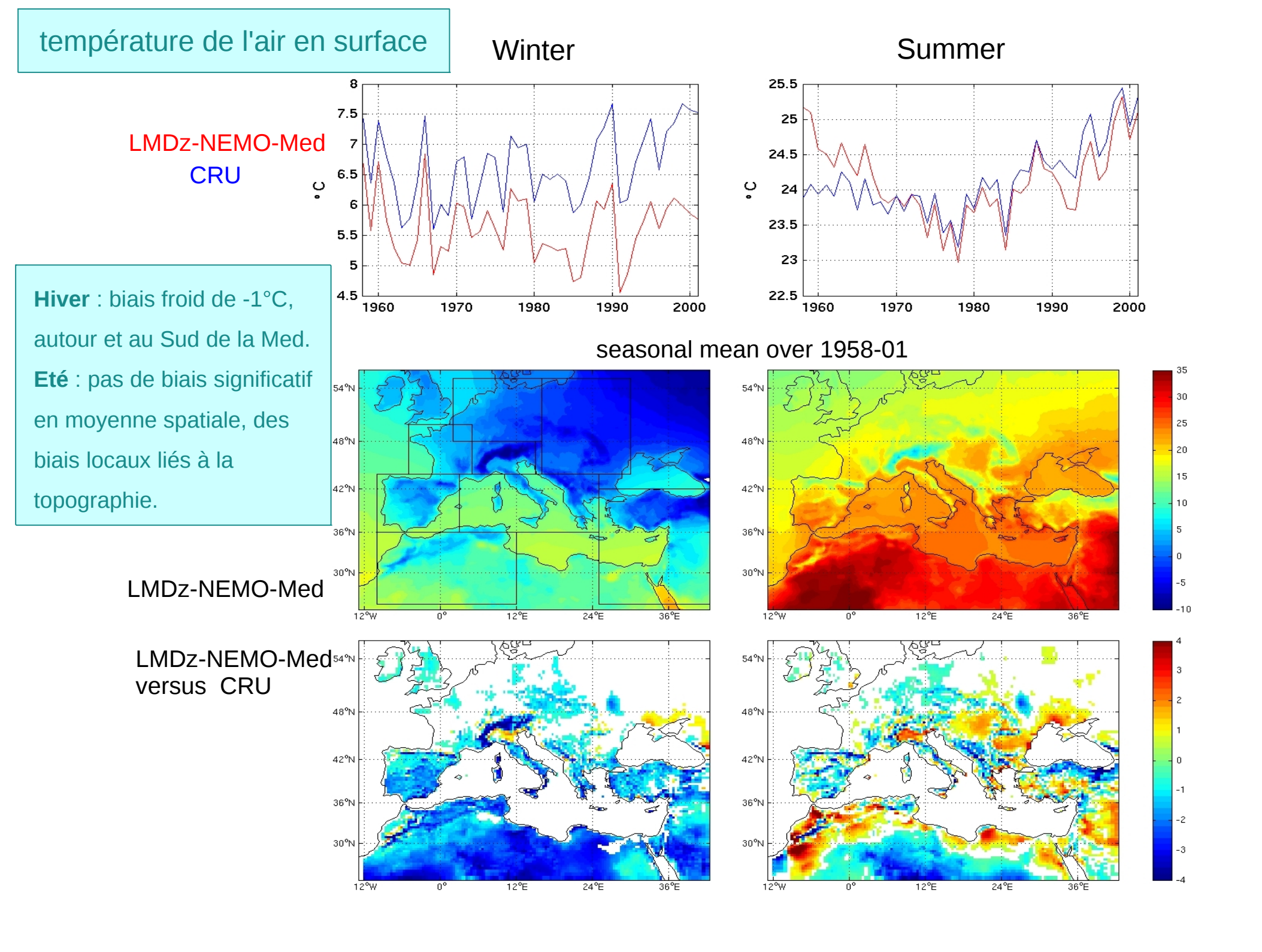
- simulation de 1958-2001 guidée par les réanalyses ERA40

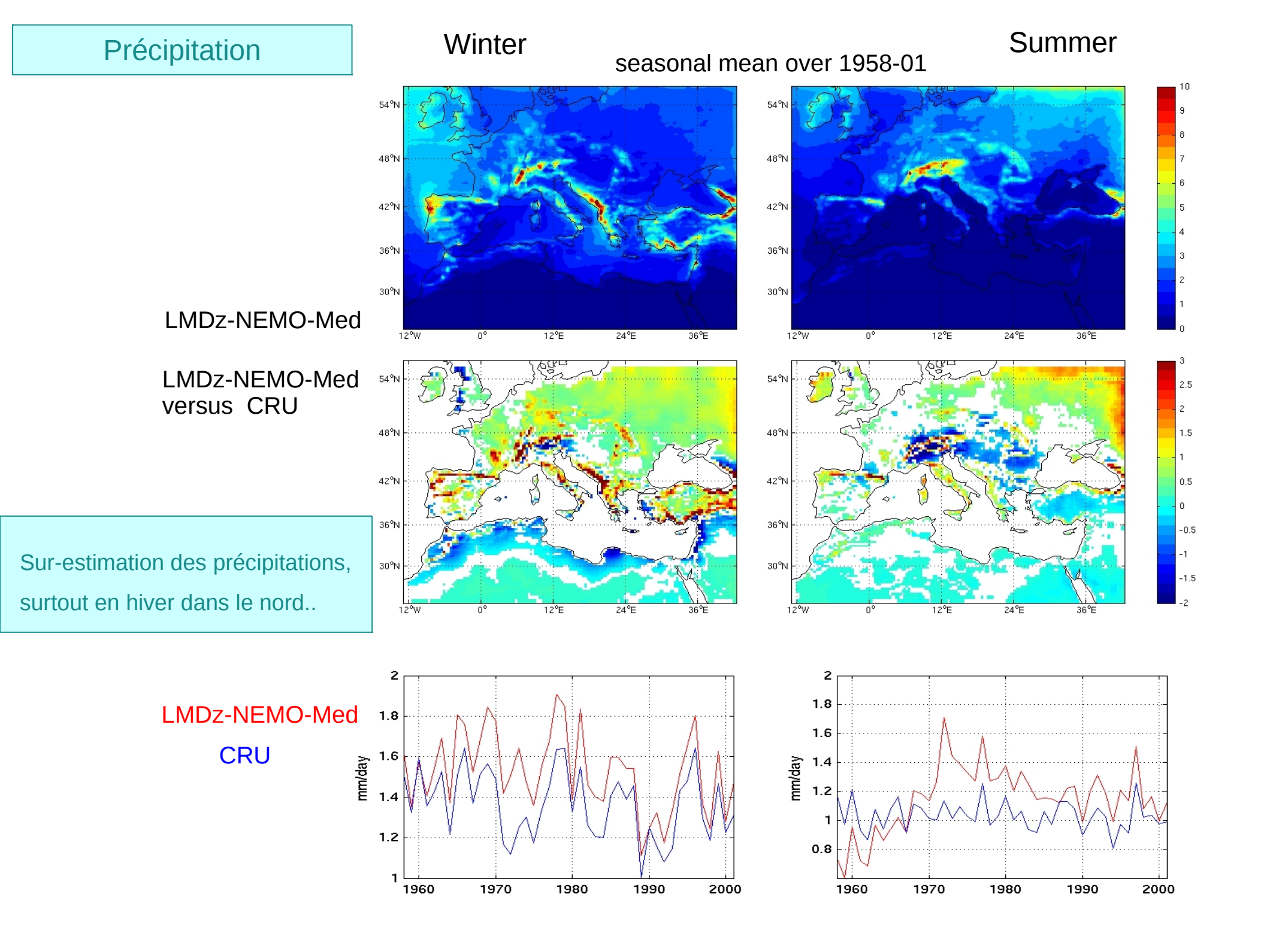




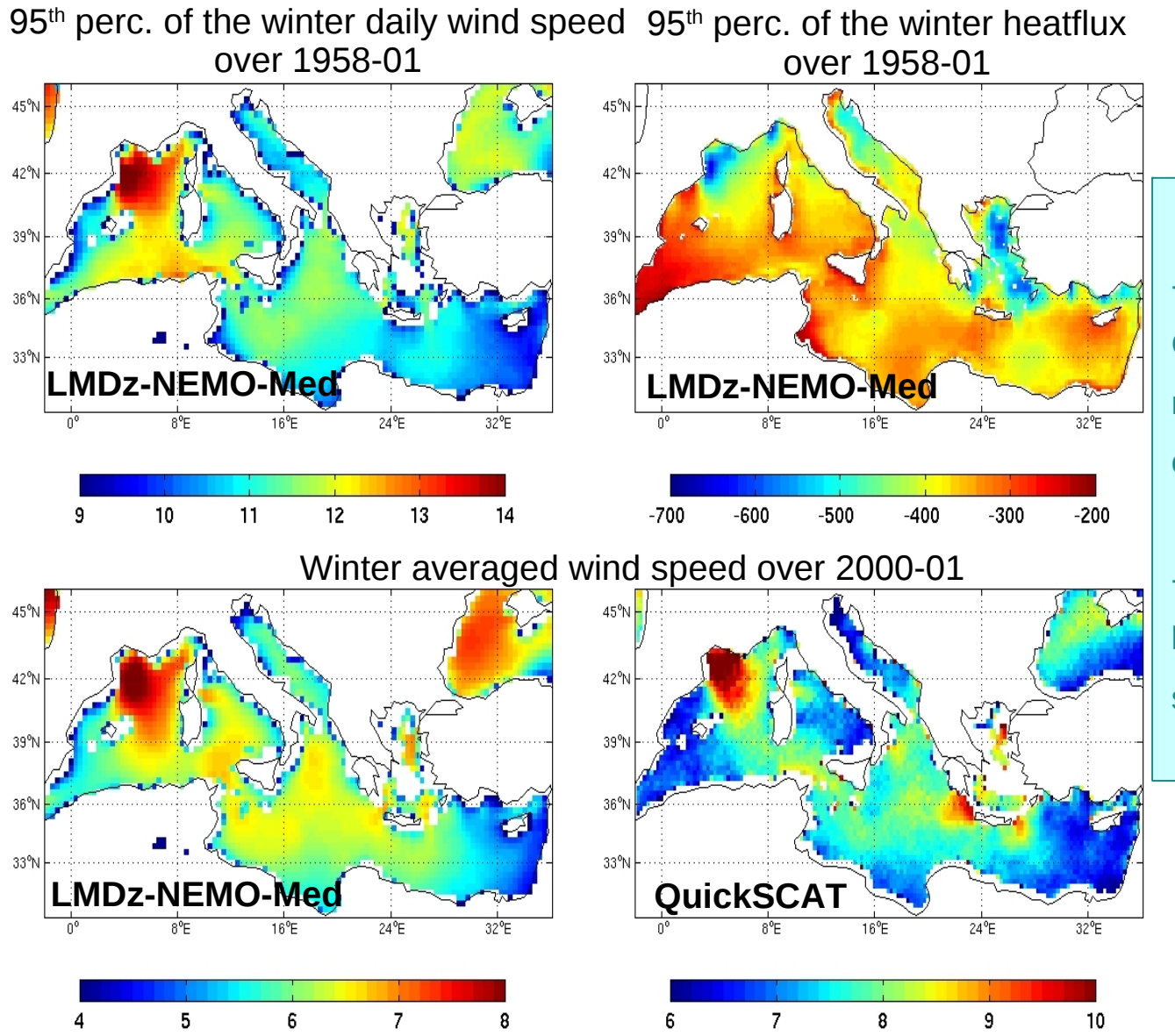
- 1. Performances générales du modèle régional couplé **LMDz-NEMO-Med**
 - a. champs de surface atmosphériques
 - b. champs de surface océaniques
 - c. contenu en sel/chaleur de l'océan
- 2. Convection profonde dans le Golfe du Lion
 - a. variabilité interannuelle de la convection profonde dans la simulation
 - b. un critère simple pour la convection profonde
 - c. reproduction des épisodes de convection profonde
- 3. Conclusion

- 1. Performances générales du modèle régional couplé LMDz-NEMO-Med
 - a. champs de surface atmosphériques
 - b. champs de surface océaniques
 - c. contenu en sel/chaleur de l'océan
- 2. Convection profonde dans le Golfe du Lion
 - a. variabilité interannuelle de la convection profonde dans la simulation
 - b. un critère simple pour la convection profonde
 - c. reproduction des épisodes de convection profonde
- 3. Conclusion





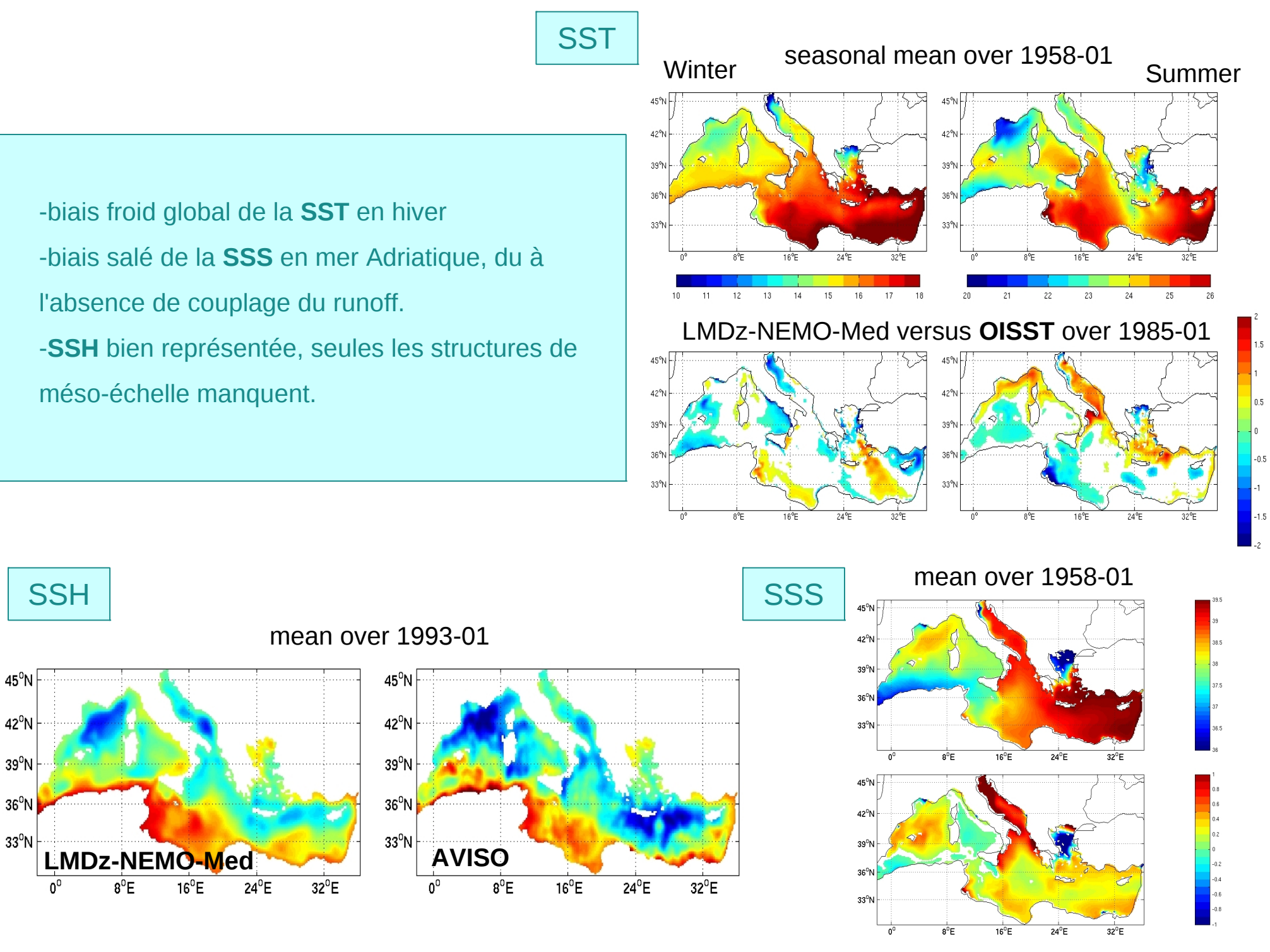
vent de surface



- les régions de convection:

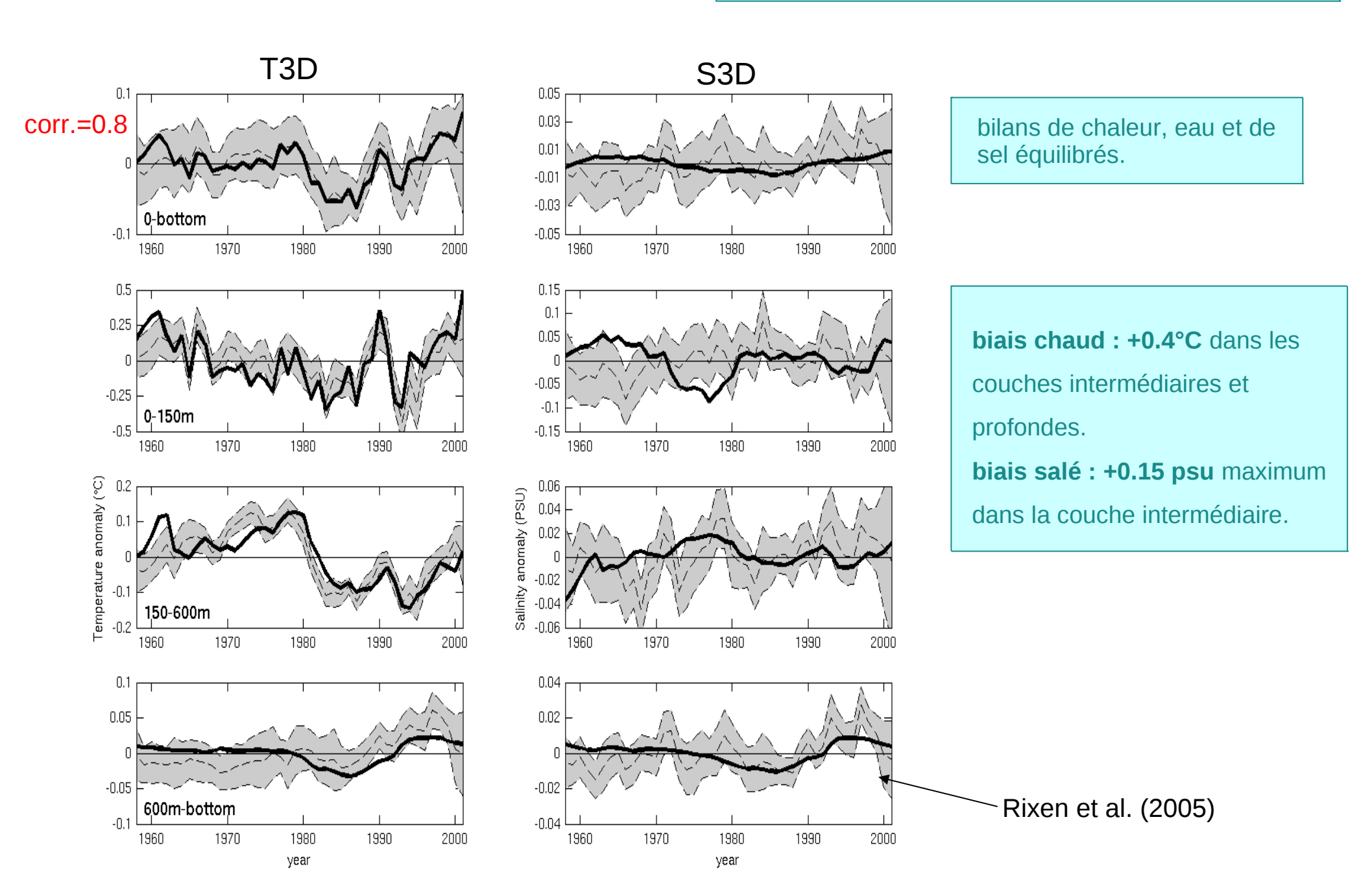
Golfe du Lion, mer Adriatique, mer Egée, ressortent avec de fortes pertes de chaleur.

-les structures spatiales ne sont pas assez localisées, et la **vitesse du vent** sous-estimée.



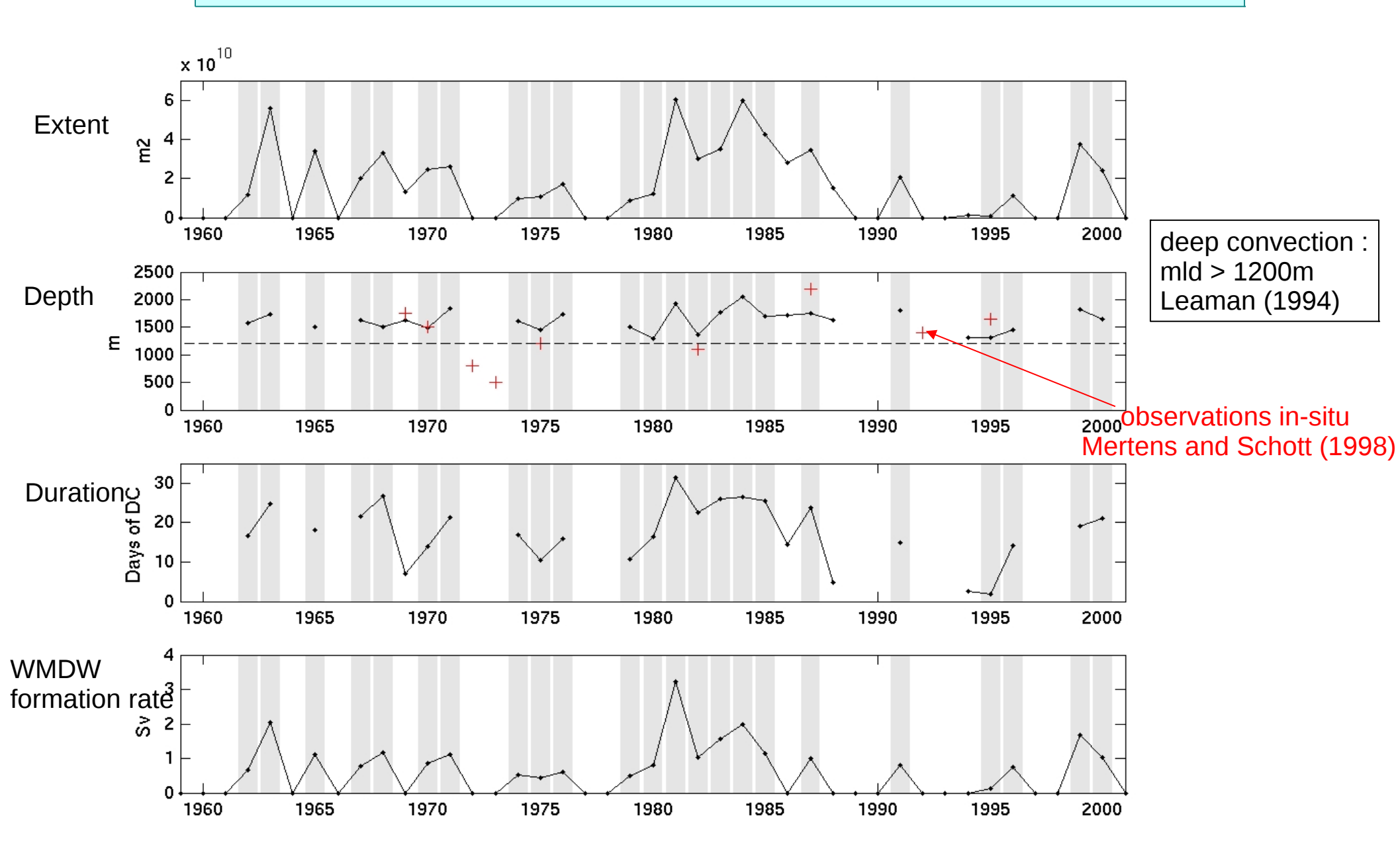
LMDz-NEMO-Med versus **MEDATLAS**

Anomalies de contenu de chaleur et de sel



- 1. Performances générales du modèle régional couplé LMDz-NEMO-Med
 - a. champs de surface atmosphériques
 - b. champs de surface océaniques
 - c. contenu en sel/chaleur de l'océan
- 2. Convection profonde dans le Golfe du Lion
 - a. variabilité interannuelle de la convection profonde dans la simulation
 - b. un critère simple pour la convection profonde
 - c. reproduction des épisodes de convection profonde
- 3. Conclusion

Variabilité interannuelle de la convection profonde dans la simulation de 1948-2001



Un critère simple pour la convection profonde

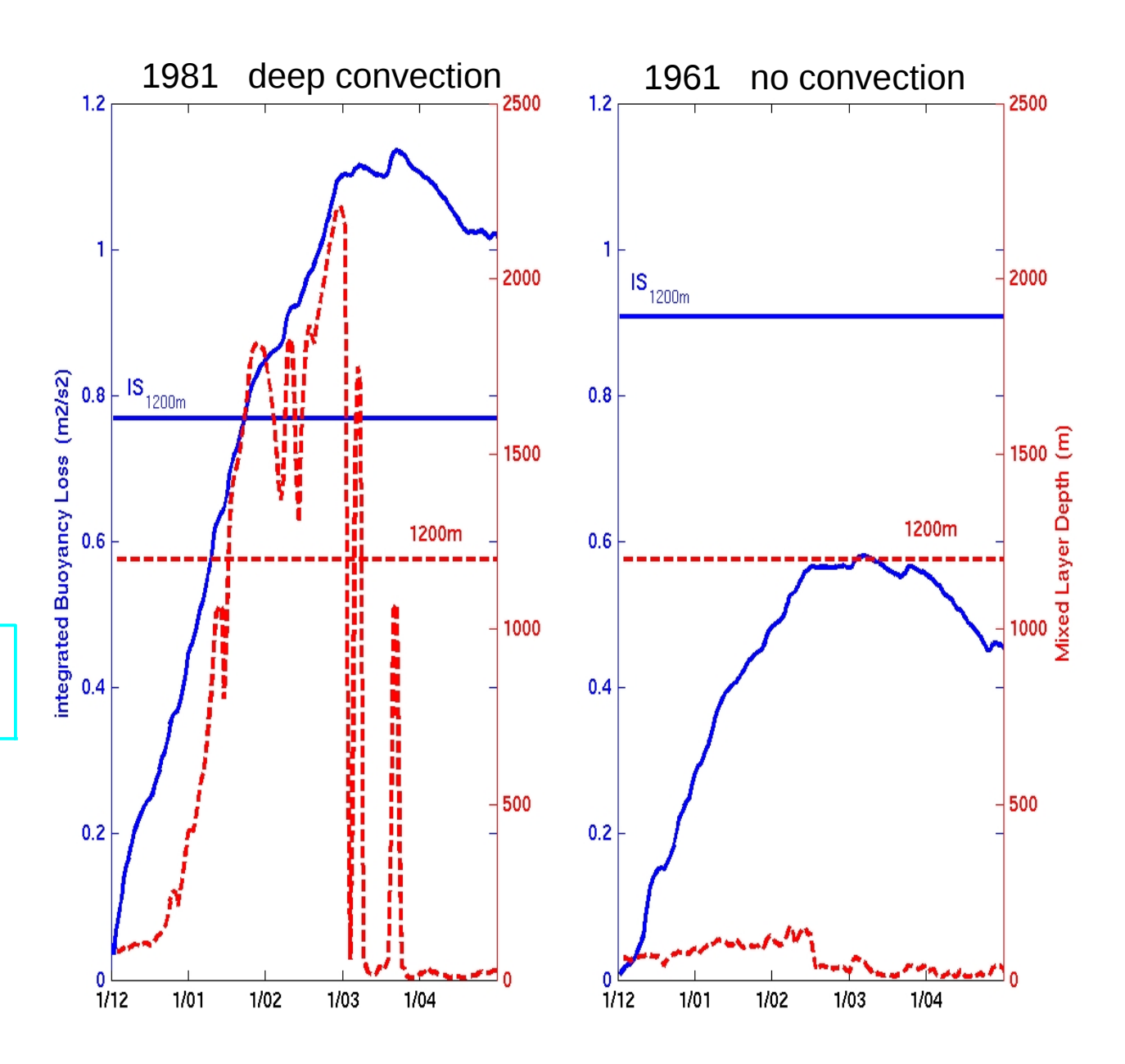
$$\overbrace{\int N^{2}(h)hdh}^{IS(z)} = \int BL(t)dt$$

DC se produit quand $BL_{int} > IS_{Dec}$ (1200m)



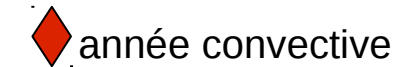
Atmospheric forcing

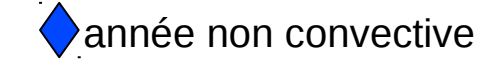
Oceanic pre-conditionning



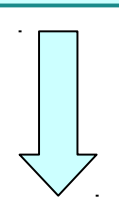
Reproduction des épisodes de convection profonde

diagramme reliant la perte de flottabilité à l'index de stratification

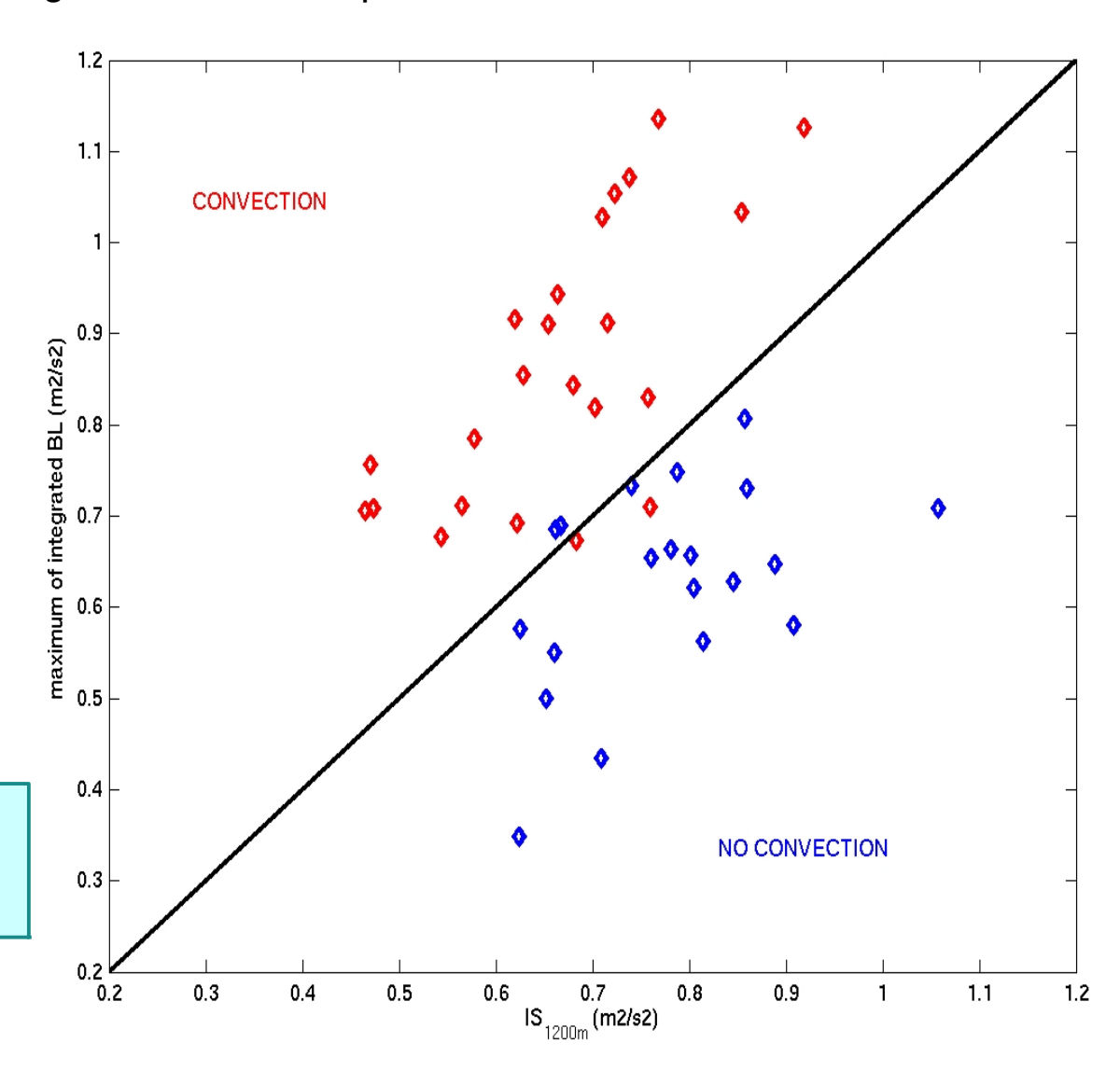




on reproduit 93% des épisodes



Au 1er ordre, ce critère est efficace pour déterminer l'occurence de convection profonde.



Conclusion

- -LMDz-NEMO-Med est dans l'état de l'art des modèles de climat régionaux couplés océan-Atmosphère sur la Méditerranée (2012).
- -Une forte variabilité interannuelle de la **convection profonde** est simulée, avec 53% d'hivers convectifs, représentatifs de l'été du climat présent.
- -Le critère de convection profonde fournit une probabilité prognostique (début décembre) pour prévoir l'occurence de convection profonde au cours de l'hiver suivant.

B. L'Hévéder, L.Li, F. Sevault and S. Somot, 2013, Interannual variability of deep convection in the Northwestern Mediterranean simulated with a coupled AORCM, Climate Dynamics, 41, 937-960, doi 10.1007/s003882-012-1527-5.